

# 氮离子轰击能量对 ta-C:N 薄膜结构的影响\*

韩亮<sup>1)†</sup> 邵鸿翔<sup>2)</sup> 何亮<sup>1)</sup> 陈仙<sup>3)</sup> 赵玉清<sup>3)</sup>

1) (西安电子科技大学技术物理学院, 西安 710071 )

2) (洛阳理工学院, 洛阳 471023 )

3) (西安交通大学电子与信息工程学院, 西安 710049 )

(2011 年 9 月 16 日收到; 2011 年 10 月 19 日收到修改稿)

利用磁过滤真空阴极电弧技术制备了  $sp^3$  键含量不小于 80% 的四面体非晶碳薄膜 (ta-C), 然后通过氮离子束改性技术制备了氮掺杂的四面体非晶碳 (ta-C:N) 薄膜。利用 Raman 光谱和 X 射线光电子能谱对薄膜结构的分析, 研究了氮离子轰击能量对 ta-C:N 薄膜结构的影响。氮离子对 ta-C 薄膜的轰击, 形成了氮掺杂的 ta-C:N 薄膜。氮离子轰击诱导了薄膜中  $sp^3$  键向  $sp^2$  键转化, 以及 CN 键的形成。在 ta-C:N 薄膜中, 氮掺杂的深度和浓度随着氮离子能量的增大而增大。ta-C:N 薄膜中  $sp^2$  键的含量和  $sp^2$  键团簇的尺寸随着氮离子轰击能量的增大而增加; 在 ta-C:N 薄膜中, CN 键主要由 C—N 键和 C=N 键构成, C—N 键的含量随着氮离子轰击能量的增大而减小, 但是 C=N 键含量随着氮离子轰击能量的增大而增大。在 ta-C:N 薄膜中不含有 C≡N 键结构。

**关键词:** ta-C:N 薄膜, 氮离子, Raman 光谱, X 射线光电子能谱

**PACS:** 68.55.-a

## 1 引言

四面体非晶碳 (ta-C) 膜具有超高硬度以及良好的电学特性和热稳定性, 在机械和电子等工业领域具有广阔的应用前景 [1–3], 目前已成功应用于磁存储光盘保护膜以及其他耐磨领域。同时由于 ta-C 薄膜具有较小的电子亲和势, 且易于与微电子加工技术相结合, 可以在室温条件下进行大面积沉积, 因此它在冷阴极器件和场发射显示方面也有潜在的应用价值。ta-C 薄膜可以通过加入氮, 形成 ta-C 薄膜的 n 型掺杂, 大大降低薄膜的功函数和场发射阈值 [4–6], 因此对掺氮的 ta-C 薄膜 (ta-C:N) 的研究具有较高的科学意义与实用价值。一般来说, 高质量的 ta-C 薄膜可以通过磁过滤阴极真空电弧技术获得, ta-C:N 薄膜是在沉积 ta-C 薄膜时通入氮气而获得的, 在这种情况下 ta-C:N 薄膜的结构主要与偏压和氮气的分压有关 [7–10]。

离子束改性技术是一种将离子轰击与薄膜沉积融为一体的新技术, 它通过采用一定

能量的离子束对薄膜进行轰击混合, 从而达到改变薄膜的结构及其特性的目的。荷能离子束轰击膜层的表面, 将引起许多物理化学效应, 这些效应对膜层的组织、结构将产生决定性的影响。因此, 本文利用离子束改性技术来制备 ta-C:N 薄膜。首先通过磁过滤阴极真空电弧技术沉积高质量 ta-C 薄膜, 然后氮离子束对 ta-C 薄膜轰击混合形成 ta-C:N 薄膜, 研究氮离子轰击能量对 ta-C:N 薄膜结构的影响。

## 2 实验

磁滤阴极真空电弧技术被用来在单晶硅上沉积 ta-C 薄膜, 阴极采用纯度为 99.99% 的石墨靶, 基片为单面抛光硅片 (100)。室温条件下, 将基片放置在超声波清洗机中, 利用酒精和丙酮进行超声清洗各 15 min, 取出风干后送入真空室。当真空室气压抽至  $10^{-4}$  Pa 时, 石墨靶引弧放电, 引弧电流为 90 A, 基底施加脉冲直流负偏压, 大小为 200 V。磁过滤系统采用 S 型双弯管过滤器, 可以有效滤

\* 陕西省“13115”科技创新工程重大科技专项(批准号: 2009DKG-29) 和中央高校基本科研业务费专项资金资助的课题。

† E-mail: hlsdy@163.com

除大颗粒以及中性粒子, 沉积 ta-C 薄膜的厚度为 100 nm.

ta-C 薄膜制备完成后, 将氮气通入冷阴潘宁极离子源, 放电产生的氮离子被用来轰击 ta-C 薄膜制备含氮的 ta-C:N 薄膜 (ta-C:N). 氮离子轰击过程中, 氮气流量为 20 sccm (1 sccm = 1 mL/min), 放电电流维持在 50 mA, 调节引出的氮离子能量从 1000 eV 到 2200 eV, 轰击时间为 2 min. ta-C 薄膜以及 ta-C:N 薄膜的键结构利用可见光 Raman 光谱 (Jobin Yvon Raman, France) 和 X 射线光电子能谱 (k-Alpha, ThermoVG, UK) 进行分析表征, X 射线光电子能谱的溅射分析用来分析氮原子的掺杂深度和浓度.

### 3 结果与讨论

#### 3.1 薄膜结构的 Raman 光谱分析

ta-C 薄膜经氮离子轰击前后的键结构可以用可见光 Raman 光谱来表征, 结果如图 1 所示. 在 Raman 光谱中位于  $950\text{ cm}^{-1}$  处的窄峰是由 Si 基底的二阶散射峰, 另一个非对称的宽峰位于  $1560\text{ cm}^{-1}$  处, 这是 ta-C 的典型峰型.

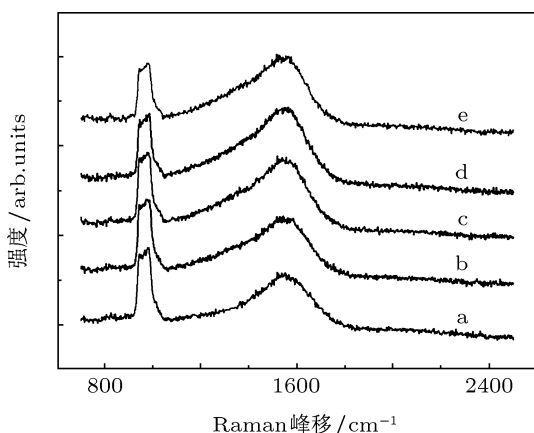


图 1 ta-C 薄膜经氮离子轰击前后的 Raman 光谱 a. 未经氮离子轰击; b, 1000 eV 氮离子轰击; c, 1400 eV 氮离子轰击; d, 1800 eV 氮离子轰击; e, 2200 eV 氮离子轰击

图 1 中薄膜的 Raman 光谱可以利用单斜 Lorenz 线形 Breit-Wigner-Fano 来拟合<sup>[11]</sup>, Raman 光谱峰宽的对称度由耦合系数  $Q$  来表征. 虽然耦合系数  $Q$  与薄膜的  $sp^3$  键的含量没有直接的函数对应关系, 但是它可以定性地分析 ta-C 和 ta-C:N 薄膜中的  $sp^2$  键含量和  $sp^2$  键团簇的含量及尺寸<sup>[8]</sup>. 研究表明, 如果耦合系数  $Q$  小于 -20, 那么薄膜中  $sp^2$  键的含量小于 20%, 此时表明  $sp^3$  键含量将

大于 80%. 耦合系数  $Q$  与氮离子轰击能量的关系如图 2 所示. 从图 2 中可以看出, ta-C 薄膜的 Raman 光谱拟合曲线中的  $Q$  参数为 -27, 这表明制备的 ta-C 薄膜的  $sp^3$  键含量大于 80%. 对于 ta-C:N 薄膜, 耦合系数  $Q$  随着氮离子轰击能量的增大而增加, 这表明在 ta-C:N 薄膜中,  $sp^2$  键含量和  $sp^2$  键团簇尺寸也随着氮离子轰击能量的增加而增大.

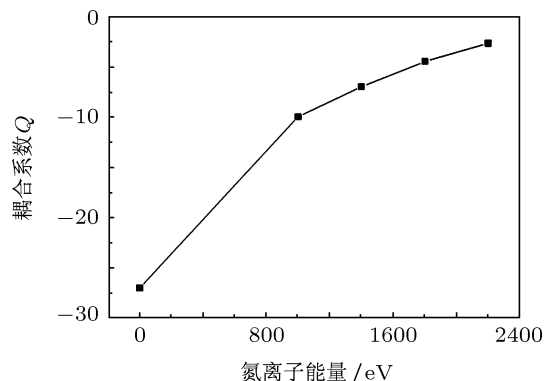


图 2 氮离子轰击能量与  $Q$  参数的关系

ta-C 薄膜的 Raman 光谱也可以用两个 Gauss 峰来进行拟合, 拟合结果如图 3 所示. 图 3(a) 表示没有经过氮离子轰击的 ta-C 薄膜 Raman 分峰结果, 其中位于  $1360\text{ cm}^{-1}$  处的峰被称为无序峰 ( $D$  峰), 位于  $1580\text{ cm}^{-1}$  处的峰被称为石墨峰 ( $G$  峰). 以图 3(b) 为例来拟合 ta-C:N 薄膜的 Raman 光谱, 除了  $D$  峰和  $G$  峰而外, 在  $1210\text{--}1245\text{ cm}^{-1}$  处的第三个峰应当被加入拟合曲线<sup>[12]</sup>, 这个峰是由 C—N 键的伸缩振动产生的<sup>[12,13]</sup>, 但是位于  $1400\text{--}1500\text{ cm}^{-1}$ <sup>[14,15]</sup> N=N 键振动产生的峰并没有在各薄膜的 Raman 光谱中发现, 这说明 ta-C:N 薄膜中不含有 N=N 键. 同时位于  $2225\text{ cm}^{-1}$  的峰也不存在于 Raman 光谱中, 因此表明所有的薄膜都不含有 C≡N<sup>[16]</sup>.

$D$  峰和  $G$  峰的相对强度比 ( $I_D/I_G$ ) 和  $G$  峰的半峰宽 ( $G$ -FWHM) 可以用来表征薄膜的  $sp^3$  键含量和  $sp^2$  团簇的含量及大小, 如果薄膜中  $I_D/I_G$  的值越小, 就说明薄膜的  $sp^3$  键含量越高.  $I_D/I_G$  和  $G$  峰的半峰宽 ( $G$ -FWHM) 随着氮离子轰击能量的变化关系如图 4 所示. 从图 4 中可以看出,  $I_D/I_G$  随着氮离子轰击能量的增大而增大, 这说明薄膜中  $sp^3$  键含量随着氮离子轰击能量的增大而减小; 同时薄膜中的  $sp^2$  键含量和  $sp^2$  团簇的尺寸也在变大<sup>[17,18]</sup>. 这是由于氮离子轰击 ta-C 薄膜的过程中产生的热峰效应所导致的结果. 当氮离子轰击 ta-C

薄膜时, 氮离子会与薄膜中的碳原子发生热能转移, 引发碳原子产生热震动, 最终导致碳原子的键结构重新排列, 即从亚稳定的  $sp^3$  键结构转化为稳定且具有较低能量的  $sp^2$  键结构.

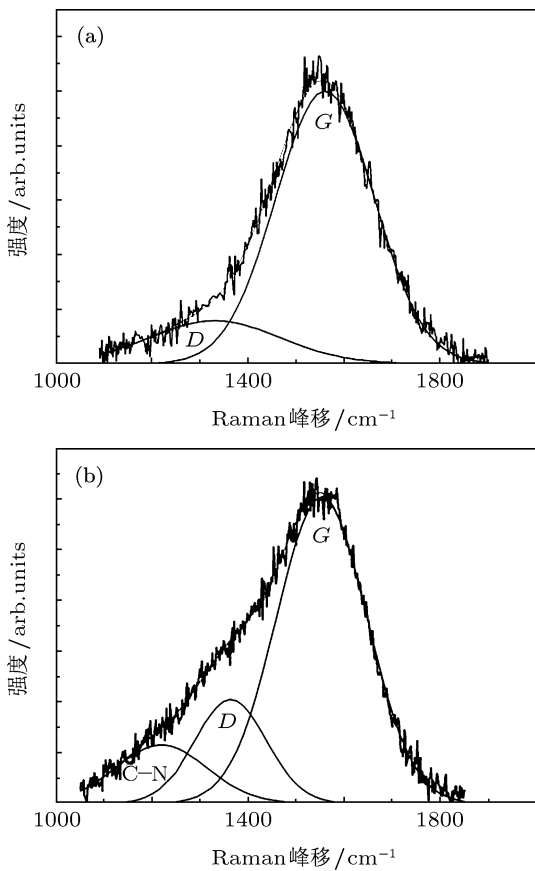


图3 ta-C 和 ta-C:N 薄膜的 Raman 光谱的分峰拟合 (a) 未经氮离子轰击的 ta-C 薄膜的 Raman 光谱的分峰拟合; (b) 氮离子轰击能量为 1000 eV 时, ta-C:N 薄膜的 Raman 光谱的分峰拟合

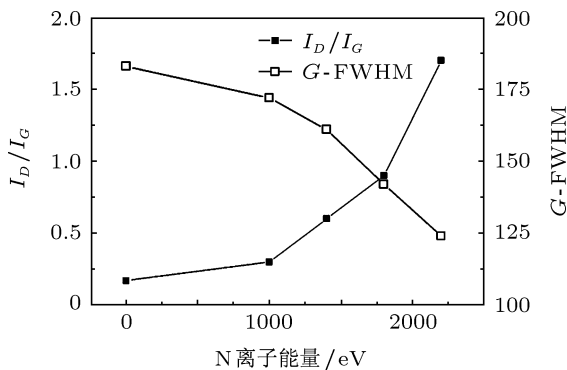


图4  $I_D/I_G$  和 G 峰的 G-FWHM 与氮离子能量的关系

### 3.2 薄膜结构的 X 射线光电子能谱 (XPS) 分析

XPS 溅射分析被用来检测各个 ta-C:N 薄膜中氮元素沿薄膜厚度的分布含量变化. 在 XPS 溅射

分析中, ta-C:N 薄膜被溅射 6 次, 每次溅射的深度为 10 nm, XPS 溅射分析的总深度为 60 nm. 以氮离子能量为 1400 eV 轰击的 ta-C 薄膜为例, 沿厚度方向的 XPS 溅射分析结果如图 5 所示.

从图 5 中可以看出, 氮元素峰的强度随着溅射深度而减小; 在不同的氮离子轰击能量下, ta-C:N 薄膜中氮元素含量沿薄膜厚度的分布函数如图 6 所示, 可以看出, 通过氮离子的轰击, 氮被掺杂进了 ta-C 薄膜中. 如图 6 所示, 当氮离子能量为 1000 eV 时, 表面下 10 nm 以内的氮的含量约为 8.7%, 随着溅射的深度的增大, 在表面下 60 nm 时, 氮离子的含量几乎是 0, 说明在 1000 eV 的轰击能量下, 氮离子掺杂深度比较有限; 当氮离子能量增加到 2200 eV 时, 表面下 10 nm 以内的氮的含量也从 10.3% 增加到 12.7%, 且氮元素含量的变化在表面下 30 nm 以内变化较为明显; 在表面下 60 nm 时, 仍然有氮元素分布, 特别是在氮离子轰击能量为 2200 eV 时, 仍然有 2.4% 的氮保留在薄膜中. 说明随着氮离子轰击能量的增大, 氮元素的掺杂深度和浓度都会增加. 这是由于氮离子具有的能量 (1—2 keV) 通常不能形成深层注入, 浅注入的氮离子是在热峰的效应下通过热扩散被掺杂进了薄膜中.

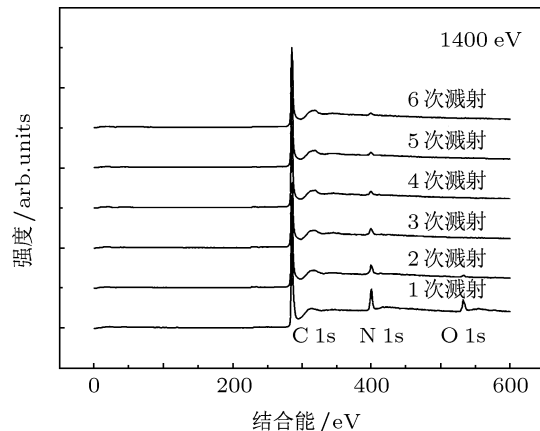


图5 1400 eV 氮离子轰击的 ta-C 薄膜 XPS 溅射分析结果

在 Raman 光谱中, D 峰和 G 峰是由  $C=C$  键和  $C=N$  键振动共同产生的, 且振动频率难以区分, 因此通过 Raman 光谱, 很难对 ta-C:N 薄膜的  $C=C$  键和  $C=N$  键的变化进行分析. XPS<sup>[19]</sup> 被用来更详细地分析薄膜中各键结构及其含量的变化. XPS 的 C 1s 谱和 N 1s 谱如图 7 和图 8 所示. 在图 7 中, 薄膜中的 C 1s 峰随着氮离子轰击能量的增大而向低结合能移动, 这表明  $sp^3$  杂化键结构的含量在减小, 这个结果也与文献 [20] 一致. 在图 8 中, 没有 N

1s 的峰存在于 ta-C 薄膜中, 是因为 ta-C 薄膜中没有 N 元素.

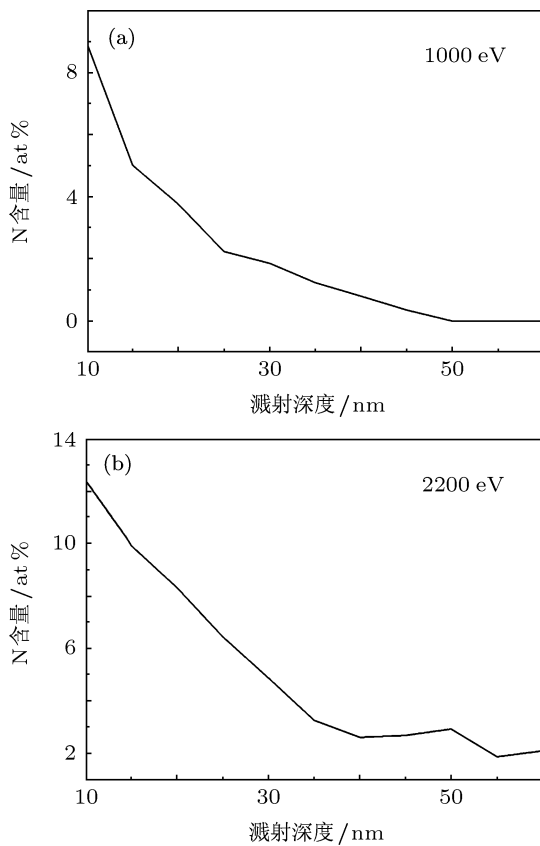


图 6 氮的含量随溅射深度的变化关系 (a) 氮离子轰击能量 1000 eV 时氮含量随溅射深度的变化关系; (b) 氮离子轰击能量 2200 eV 时氮含量随溅射深度的变化关系

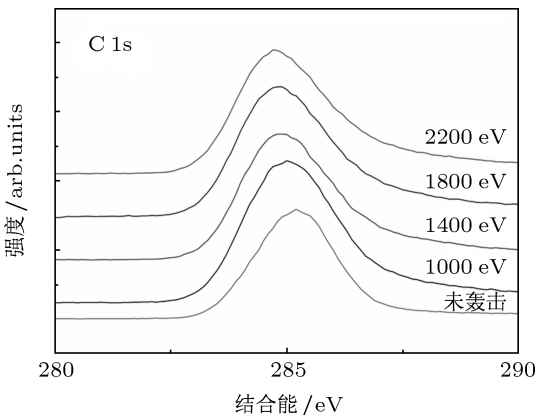


图 7 ta-C 薄膜经氮离子轰击前后的 XPS C 1s 结果

为了对不同的 ta-C:N 薄膜的 XPS C1s 和 N1s 芯能级谱进行定量分析, 本文采用 Gauss 线型对光谱进行拟合 [21]. 以图 7 和图 8 中 2200 eV 氮离子轰击形成的 ta-C:N 薄膜的 XPS 曲线为例, 对 C 1s 和 N 1s 谱进行分峰, 结果如图 9 所示. 对于 C 1s 谱, 采用 4 个 Gauss 峰进行拟合 [22–24], C1 峰 (284.4 eV)

和 C2 峰 (285.5 eV) 分别对应为石墨相的 C=C 键和金刚石相的 C—C 键; C3 峰 (286.3 eV) 和 C4 峰 (287.5 eV) 分别对应为 CN 键 (C=N 键和 C—N 键) 和 C—O 键. 各个峰的积分面积代表了各个键在薄膜中的含量, 它随着氮离子轰击能量的变化关系如图 10 所示. 氮离子轰击能量为 0 eV 时,

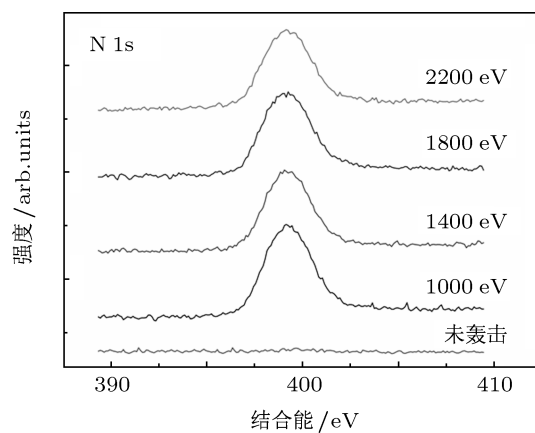


图 8 ta-C 薄膜经氮离子轰击前后的 XPS N 1s 结果

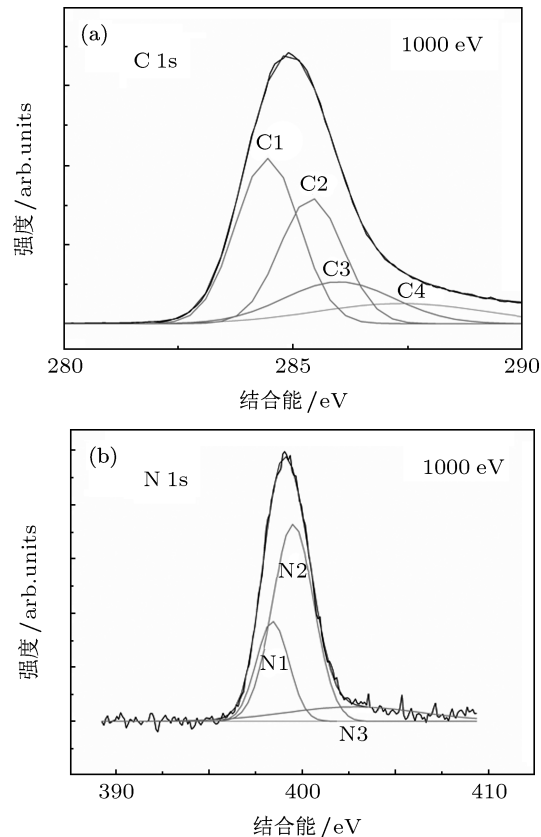


图 9 1000 eV 氮离子轰击的 ta-C 薄膜的 XPS C 1s 和 N 1s 拟合示例 (a) XPS C 1s 拟合; (b) XPS N 1s 拟合

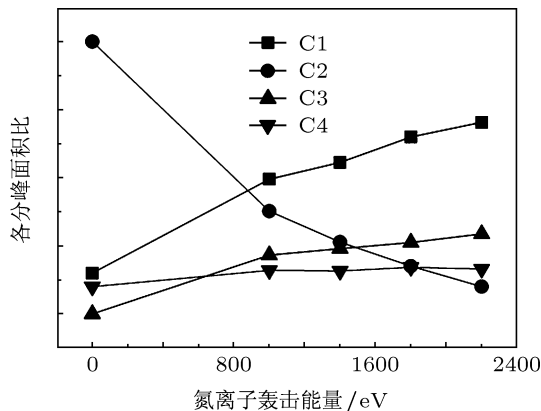


图 10 C1—C4 峰的积分面积比随氮离子能量的变化关系

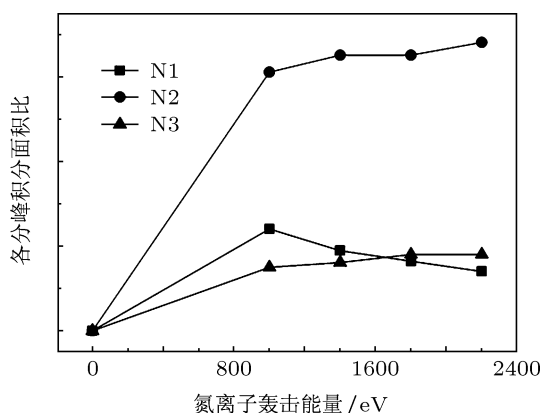


图 11 N1—N3 峰的积分面积比随氮离子能量的变化关系

表示此时薄膜是 ta-C 薄膜, 其中 C—C 键的含量大于 80%, CN 的含量为 0, 因为薄膜中没有 N 存在。然而对于 ta-C:N 薄膜, C=C 键的含量随着氮离子轰击能量的增大而增多, 但是 C—C 键的含量却逐渐减小, 这是由于具有较高能量的氮离子轰击 ta-C 薄膜产生的热峰效应, 引发碳原子重新排列。研究表明<sup>[25]</sup>原子重新排列的个数与离子的轰击能量成正比, 因此随着氮离子轰击能量的增大 C=C 键的含量会增多, C—C 键的含量会减少, 这也与 Raman 光谱的分析结果一致。同时 CN 的含量随着氮离子轰击能量的增大略微增加, 而 CO 的含量并没有随

着氮离子轰击能量的变化而变化, 这说明 O 的污染是由与样品制备过程暴露于空气中造成的。

对于 ta-C:N 薄膜的 N 1s 谱, 采用三个 Gauss 峰进行拟合<sup>[190–192, 26–28]</sup>, N1 峰 (398.0—399.0 eV) 和 N2 峰 (400.2 eV) 分别对应为 C—N 键和 C=N 键, N3 峰 (402.5 eV) 是 N—O 键。各个峰的积分强度随着氮离子轰击能量的变化关系如图 11 所示。从图 11 中可以看出, 在 ta-C:N 薄膜中, C—N 键的含量随着氮离子轰击能量的增大逐渐减小, 但是 C=N 键的含量却随着氮离子轰击能量的增大而增加, 这与文献<sup>[29]</sup>的研究一致。当氮原子被掺杂进 ta-C 薄膜时, 氮原子优先置换 sp<sup>3</sup> 键点的碳原子, 与碳原子形成 C—N 键; 然后氮原子再与碳原子形成 sp<sup>2</sup> 键, 构成 C=N 键。因此随着氮离子的轰击, 更多的 C—N 键会逐渐转换成 C=N 键。同时 C 1s 和 N 1s 的光谱分析表明 C≡N 键没有存在于 ta-C:N 薄膜中, 这也与 Raman 光谱的结果一致。

## 4 结 论

本文利用氮离子束改性技术制备 ta-C:N 薄膜, 通过 Raman 光谱与 XPS 对薄膜结构的分析, 研究氮离子轰击能量对薄膜结构的改变, 并得到以下结论:

- 1) 氮离子对 ta-C 薄膜的轰击, 形成了氮掺杂的 ta-C:N 薄膜, 氮离子轰击诱导了薄膜中 sp<sup>3</sup> 键向 sp<sup>2</sup> 键转化, 以及 CN 键的形成;
- 2) 在 ta-C:N 薄膜中, 氮掺杂的深度和浓度随着氮离子能量的增大而增大, 薄膜中 sp<sup>2</sup> 键的含量和 sp<sup>2</sup> 键团簇的尺寸随着氮离子轰击能量的增大而增加;
- 3) 在 ta-C:N 薄膜中, CN 键主要由 C—N 键和 C=N 键构成, C—N 键的含量随着氮离子轰击能量的增大而减小, 但是 C=N 键含量随着氮离子轰击能量的增大而增大, 在 ta-C:N 薄膜中不含有 C≡N 键结构。

- [1] Ander A, Ander S, Brown I G 1995 *Plasma Source Sci. Technol.* **4** 1
- [2] Zhu J Q, Wang J H, Meng S H, Han J C, Zhang L S 2004 *Acta Phys. Sin.* **53** 1151 (in Chinese) [朱嘉琦, 王景贺, 孟松鹤, 韩杰才, 张连升 2004 物理学报 **53** 1151]
- [3] Liang F, Yan X J 1999 *Acta Phys. Sin.* **48** 1095 (in Chinese) [梁

风, 严学俭 1999 物理学报 **48** 1095]

- [4] Satyanarayana B S, Hart A, Miline W I, Robertson J 1998 *Diamond Relat. Mater.* **7** 656
- [5] Gao W, Gong S L, Zhu J Q, Ma G J 2011 *Acta Phys. Sin.* **60** 027104 (in Chinese) [高巍, 巩水利, 朱嘉琦, 马国佳 2011 物理学报 **60** 027104]

- [6] Panwar O S, Khan M A, Satyanarayana B S, Bhattacharyya R, Mehta B R, Kumar S, Ishpal I 2010 *J. Vac. Sci. Technol. B* **28** 411
- [7] Panwar O S, Alim M K, Kumar M, Shivaprasad S M, Satyanarayana B S, Dixit P N, Bhattacharyya R, Khan M Y 2008 *Thin Solid Films* **516** 2331
- [8] Panwar O S, Deb B, Satyanarayana B S, Khan M A, Bhattacharyya R, Pal A K 2005 *Thin Solid Films* **472** 180
- [9] Polo M C, Andujar J L, Hart A, Robertson J, Milne W I 2000 *Diamond Relat. Mater.* **9** 663
- [10] Panwar O S, Alim K M, Kumar S, Basu A, Mehta B R, Kumar S, Ishpal I 2010 *Surf. Coat. Technol.* **205** 2126
- [11] Prawer S, Nugent K W, Lifshitz Y 1996 *Diamond Relat. Mater.* **5** 433
- [12] Zhang X W, Ke N, Cheung W Y 2003 *Diamond Relat. Mater.* **12** 1
- [13] Wixom M K 1990 *J. Am. Ceram. Soc.* **73** 1973
- [14] Cheng Y H, Tay B K, Lau S P 2001 *Diamond Relat. Mater.* **10** 2137
- [15] Colthup N B, Daly L H, Wiberly S E 1990 *Introduction to Infrared and Raman Spectroscopy* (3rd Ed.) (New York: Academic Press)
- [16] Chowdhury A K M S, Cameron D C, Hashmi M S J 1998 *Thin Solid Films* **332** 62
- [17] Kaufman J H, Metin S, Saperstein D D 1989 *Phys. Rev. B* **39** 13053
- [18] Merel P, Tabbal M, Chaker M, Moisa S, Margot 1998 *J. Appl. Surf. Sci.* **136** 105
- [19] Ripalda J M, Roman E, Galan L 2003 *J. Chem. Phys.* **118** 3748
- [20] Yu G H, Zeng L R, Zhu F W, Chai C L, Lai W Y 2001 *J. Appl. Phys.* **90** 4039
- [21] Zhu J Q, Han J C, Han X, Schiaberginaki H, Wang J Z 2008 *J. Appl. Phys.* **104** 013512
- [22] Das D, Chen K H, Chattopadhyay S, Chattopadhyay S, Chen L C 2002 *J. Appl. Phys.* **91** 4944
- [23] Papakonstantinou P, Lemoine P 2001 *J. Phys. Condens. Matter* **13** 2971
- [24] Ronning C, Feldermann H, Merk R, Hofssäss H 1998 *Phys. Rev. B* **58** 2207
- [25] Hellgren N, Guo J, Sathe C, Agui A, Nordgren J, Luo Y, Ågren H, Sundgren J E 2001 *Appl. Phys. Lett.* **79** 4348
- [26] Hofssäss H, Eldermann H F, Merk R, Sebastian M, Ronning C 1998 *J. Appl. Phys. A* **66** 153
- [27] Majumdar A, Schäfer J, Mishra P, Ghose D, Meichsner J, Hippeler R 2007 *Surf. Coat. Technol.* **201** 6437
- [28] McCann R, Roy S S, Papakonstantinou P, Bain M F, Gamble H S, McLaughlin J A 2005 *Thin Solid Films* **482** 34
- [29] Bhattacharyya S, Hong J, Turban G 1998 *J. Appl. Phys.* **83** 3922
- [30] Kaukonen M, Nieminen R M, Poykko S, Seitsonen A P 1999 *Phys. Rev. Lett.* **83** 5346

# The effect of nitrogen ion bombarding energy on the bonding structure of nitrogenated tetrahedral amorphous carbon film\*

Han Liang<sup>1)†</sup> Shao Hong-Xiang<sup>2)</sup> He Liang<sup>1)</sup> Chen Xian<sup>3)</sup> Zhao Yu-Qing<sup>3)</sup>

1) (*School of Technical Physics, Xidian University, Xi'an 710071, China*)

2) (*Luoyang Institute of Science and Technology, Luoyang 471023, China*)

3) (*School of Electronic and Information Engineering, Xi'an Jiaotong University, Xi'an 710049, China*)

(Received 16 September 2011; revised manuscript received 19 October 2011)

## Abstract

The tetrahedral amorphous carbon (ta-C) films with more than 80% sp<sup>3</sup> in fraction are deposited by the filtered cathode vacuum arc technique. Then the energetic nitrogen (N) ions are used to bombard the ta-C films to fabricate nitrogenated tetrahedral amorphous carbon (ta-C:N) films. The composition and the structure of the films are analyzed by visible Raman spectrum and X-ray photoelectron spectroscopy. The result shows that the bombardment of energetic nitrogen ions can form CN bonds, convert C—C bonds into C=C bonds, and increase the size of sp<sup>2</sup> cluster. The CN bonds are composed of C=N bonds and C—N bonds. The content of C=N bonds increases with the N ion bombardment energy increasing, but the content of C—N bonds is inversely proportional to the increase of nitrogen ion energy. In addition, C≡N bonds do not exist in the films.

**Keywords:** nitrogenated tetrahedral amorphous carbon, nitrogen ion, visible Raman spectrum, X-ray photoelectron spectroscopy

**PACS:** 68.55.-a

\* Project supported by the Key Program of “3115” Science and Technology Originality Innovation Project of Shaanxi Province, China (Grant No. 2009ZDKG-29) and the Fundamental Research Funds for the Central Universities, China.

† E-mail: hlsdy@163.com